

PSY 3



*Bijm*

2841-III

AsJ<sub>3</sub> (D)

1939

*Bijmire K. B.*

Butkov K.V.

J. Exptl. Theoret. Phys. (U.S.S.R.)

1939, 9, 561-5

"Molecular spectra and the  
thermal dissociation of antimony and  
arsenic iodides"

C.A., 1939, 9141<sup>1</sup>

for

Everbright

cp

147 - 3297

1941

C<sub>2</sub>Cl<sub>2</sub>, CO<sub>2</sub>, CS<sub>2</sub>, AsJ<sub>3</sub> ( mol. gr. )

Finbak C., Hassel O.

Arch. Math. Naturvidenskab 45,  
NO 3, 8 pp. ( 1941 )

"Molecular - structure ...

C.A., 1942, 6408

10

R313-177 1942

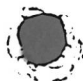
ASJ<sub>3</sub> ( τ, L )

Finbak C., Hassel O.

Molekülstrukturbestimmungen  
einiger einfachen Verbindungen auf Grund  
von Abstandsverteilungsfunktionen die  
Elektroneninterferenzaufnahmen nach dem  
sektorerfahren berechnet wurden.

1942, Archiv Math. og Naturvidenscab

Kelley. bull. 592,  
c. 331



10

A<sub>3</sub>Y<sub>3</sub> u  
NH<sub>3</sub>

R. S. Hulliken

1955

YACS 77, 88°

Углы связи в поликупах  
минерала A<sub>3</sub>Y<sub>3</sub> u NH<sub>3</sub> и их  
производных.

A<sub>3</sub>Y<sub>3</sub> < 100° 5'

Py<sub>3</sub>, As<sub>3</sub> ( $\lambda = 1088 \text{ \AA}$ , чувствительность) | 1956

Hammrich H., Forneris R., Tavares F.,

J. Chem. Phys., 1956, 25, № 3, 580 (авт.)

Чувствительность поглощения  
и чувствительность Py<sub>3</sub> и As<sub>3</sub>.

рнрп, 1957, № 13, 43753

10

1+2

1958-11

AsJ<sub>3</sub> (γ) i; Cewb. noceir-) 1956

Von der Kolen G.P., Nederl. Ned.  
Rijksuniv. Leiden, 1956, 65,  
II 3-4, 350-351 f. *gaps* *areas*.  
Les spectres Raman des halogé-  
nures de la manganèse et de la diméthyl-  
arsine

PL., 1956, II 2,  
3573

10

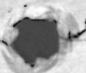
1963

48 Y<sub>3</sub>

Venkateswaran R.,  
Rajalakshmi R. V.

T. 8.

Indian J. Pure and Appl.  
Phys., 1963, 1, v11, 380.

Cuckoo noise Horw-Bregen  
U Tigrayans. Ch. lo. Supravitigay  
pecc no  ready noise Y<sub>3</sub>.

cut. I.

As<sub>3</sub>

средние  
ассортименты  
комбинации

Nagarajan S.

Indian J. Pure and  
Appl. Phys., 1964, 2, N 8,  
237-41.

1964

Средние ассортименты комбинаций. Термодинамические функции некоторых природных звездопроявлениях элементов у гидрина. (сес. NF<sub>3</sub>) III

B9P - 3703-III

В9 - 4142-III

1965

AsJ

3

5 Д144. Среднеквадратичные амплитуды и термодинамические функции некоторых пирамидальных триглоидных соединений группы Vб. Manley T. R., Williams D. A. Mean square amplitudes and thermodynamic functions of some group Vb pyramidal trihalides. «Spectrochim. acta», 1965, 21, № 9, 1467—1470 (англ.)

Вычислены среднеквадратичные амплитуды тепловых колебаний для молекул  $\text{AsBr}_3$ ,  $\text{AsJ}_3$ ,  $\text{SbJ}_3$ ,  $\text{BiBr}_3$  и  $\text{BiJ}_3$ . Для этих же молекул в приближении идеального газа в интервале  $T = 100\text{--}1500^\circ\text{K}$  при атмосферном давлении определены теплоемкость, энталпия, свободная энергия и энтропия.

И. Яковлев

(Сел. Гакисе  $\text{AsBr}_3$ ) II

ф. 1966. 58



1965

AS<sub>3</sub>  
Sb<sub>3</sub>  
Bi<sub>3</sub>  
Bi<sub>3</sub>  
(u.k. checkup)

The far-infrared spectra of some Group Vb trihalides. T. R. Manley and D. A. Williams (Rutherford Coll. Technol., Newcastle-upon-Tyne, Engl.). *Spectrochim. Acta* 21(10), 1773-83 (1965) (Eng). The far ir absorption spectra of the Group Vb trihalides AsI<sub>3</sub>, SbI<sub>3</sub>, BiBr<sub>3</sub>, and BiI<sub>3</sub>, were exampd. in the region 500-50 cm.<sup>-1</sup> by using both grating spectrometers and a Michelson far-ir interferometric spectrometer. The spectra obtained by the 2 methods are compared and fundamental vibration frequencies are assigned. Force consts. were calcd. by using a 4-const. potential function.

RCSO

(4)

C.A. 1965. 63-12  
15729 g

18

V 5240

1966

02203935

AsI<sub>3</sub>, GaI<sub>3</sub> (Geomet.str,sil.post)

Marino Y., Ukaji T., Ito T.

Bull Chem.Soc.Japan, 1966, 39, N1, 71-78.

Molecular structure determination by gas  
electron diffraction at high temperatures II  
Arsenic triiodide and gallium triiodide.  
*See 536*

RX., 1966, 17545

J,

F

As<sub>3</sub>Коерул G.W., et al.У. Амер. Чем. Док., 89,  
№ 14, 3396.

Барьеры инверсии пирамидальных молекул типа  $XH_3$  и родственных плоских молекул, содерж. группу  $XH$ .

(см.  $CH_3^-$ )

1968

As I,  
(крист.)

Hadni F., Decamps E.  
Herbeauval Y. - P.

U.R.

J. chim. Phys. et phys.-chim.  
biol., 65, N 5, 959.

XII-XXI

Синтезированы  
в газовой УК-смеси  
малые  кристаллы  
изобретенных  
именно язычковых кристаллов

Kepc.

(acc. SuS<sub>4</sub>) III

1868

XIV - 293

As I<sub>3</sub>

111647. Vibrational spectra of arsenic triiodide. Hooper,  
 M. A.; James, D. W. (Univ. Queensland, St. Lucia, Aust.).  
*Aust. J. Chem.* 1968, 21(10), 2379-83 (Eng). The Raman  
 spectrum of AsI<sub>3</sub> was detd. in soln. in CS<sub>2</sub> and in the solid state.  
 For the soln. the assignment of Stammreich, Forneris, and Ta-  
 vares was confirmed by polarization studies. In the solid state  
 assignment of the spectrum is only possible on the basis of space  
 group symmetry, and an earlier assignment based on point group  
 $C_{3v}$  is in error. The solid state frequencies (R3 symmetry)  
 are  $\nu_1(A_g)$  185 cm.<sup>-1</sup>,  $\nu_2(A_g)$  75 cm.<sup>-1</sup>,  $\nu_3(A_u)$  201 cm.<sup>-1</sup>,  $\nu_4(A_u)$   
 102 cm.<sup>-1</sup>,  $\nu_5(E_g)$  205 cm.<sup>-1</sup>,  $\nu_6(E_g)$  50 cm.<sup>-1</sup>,  $\nu_7(E_u)$  216 cm.<sup>-1</sup>,  
 $\nu_8(E_u)$  74 cm.<sup>-1</sup>

RCGW

(p-p, 16.)

C.A. 1968. 69. 26

XIII - 293

1968

fs №  
3

16 Б202. Колебательные спектры триодида мышьяка. Ноорег М. А., James D. W. Vibrational spectra of arsenic triiodide. «Austral. J. Chem.», 1968, 21, № 10, 2379—2383 (англ.)

Получены спектры КР крист.  $AsJ_3$  и его насыщенного р-ра в  $CS_2$ ; в спектрах выполнены поляризационные измерения. Спектры КР получены на приборе LRI (при лазерном возбуждении). Выполнен теоретико-групповой анализ спектра  $AsJ_3$  (симметрия кристалла  $R\bar{3}$  с двумя молекулами в элементарной ячейке) и произведено отнесение наблюденных частот к различным типам колебаний. Согласие эксп. данных и теор. интерпретации подтверждает выбранную симметрию крист.  $AsJ_3$ . Рассмотрено также поведение частот симм. вал. кол. триодидов V группы элементов ( $XY_3$ ) при изменении отношения масс  $M_x/M_y$ . Для крист.  $AsJ_3$  частота колебания  $v_1(Ag)=185\text{ см}^{-1}$  (в растворе  $\sim 216\text{ см}^{-1}$ ). А. Бобров

спектр

X. 1969.

16

1968

XIII - 293

AsJ<sub>3</sub>

7 Д336. Колебательные спектры триодида мышьяка. Норрер М. А., James D. W. Vibrational spectra of arsenic triiodide. «Austral. J. Chem.», 1968, 21, № 10, 2379—2383 (англ.)

Изучены спектры комб. рас. AsJ<sub>3</sub> в растворе в CsS<sub>2</sub> и в твердом состоянии. Показано, что данные для растворов хорошо согласуются с измерениями поляризованных спектров. Установлено, что отнесение основных колебательных полос для кристаллич. состояния необходимо проводить на основе теории групп пространственной, а не точечной симметрии. Библ. 10. Резюме

снегир

Ф. 1969. 40

1969

As Y<sub>3</sub>

Cyvin S.Y. upr.

J. Molee. Street,

cp-kb  
авиа.  
касса.

1969, 4, n 5-6, 391



(Cup. NF<sub>3</sub>) III

Cs<sub>2</sub>.vac<sup>-</sup> H<sub>3</sub>(N, P, As, Sb); NHF<sub>2</sub> XII 330  
D<sub>3</sub>(N, P, As, Sb); NDf<sub>2</sub> 1969  
F<sub>3</sub>(N, P, As, Sb); Br<sub>3</sub>(N, P, As, Sb)  
Cl<sub>3</sub>(N, P, As, Sb); Cl<sub>3</sub>(N, P, As, Sb)

○ King Shin-Tung, Oberndorf.

J. Phys. Chem., 1969, 73,

N<sub>2</sub>, 406-12

10

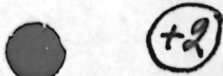
10

AsJ<sub>3</sub>

1970

1 Б264. Спектры комбинационного рассеяния моно-  
кристаллов AsJ<sub>3</sub> и порошков SbJ<sub>3</sub> и BiJ<sub>3</sub>. Kiefer W.  
Raman-Spektren eines AsJ<sub>3</sub>-Einkristalls und von SbJ<sub>3</sub>-  
und BiJ<sub>3</sub>-Kristallpulvern. «Z. Naturforsch.», 1970, 25a,  
№ 7, 1101—1107 (нем., рез. англ.)

Получены спектры КР монокристалла AsJ<sub>3</sub>, его р-ра  
и спектры КР порошкообразных SbJ<sub>3</sub> и BiJ<sub>3</sub>. Спектры  
возбуждались линией  $\lambda$  6943 А рубинового лазера, ра-  
ботающего в квазинепрерывном режиме, и регистриро-  
вались фотоэлектрически, в спектрах AsJ<sub>3</sub> выполнены  
поляризац. измерения. Произведено отнесение наблю-  
денных частот к различным типам внутренних и внеш-  
них (кол. крист. решетки) кол. AsJ<sub>3</sub>, SbJ<sub>3</sub>, BiJ<sub>3</sub>. Крис-  
таллам приписана симм. R $\bar{3}$ (C<sub>3h</sub>) (фактор-группа S<sub>6</sub>).  
При переходе от As к Bi происходит значит. понижение  
частот почти всех кол. (за исключением вырожденных  
кол.  $\nu_6$ ,  $\nu_8$ ). А. Бобров.



X·1971·1

☒

cur. n., n. n. (PF<sub>3</sub>, PCl<sub>3</sub>, PB<sub>2</sub><sub>3</sub>, P<sub>2</sub><sub>3</sub>, 1970  
XIV 563 AsF<sub>3</sub>, AsCl<sub>3</sub>, AsBr<sub>3</sub>, AsI<sub>3</sub>)

Rai S.N., Thakur S.N., 13  
Austral. J. Chem., 1970, 23, no 5, 881-886.  
(austr.).

Kinematical evaluation of force constants: application to trihalides  
of phosphorus and arsenic.

ЕСТЬ ОРИГИНАЛ

Pushkin, 1970, 23.5.67 W

$\text{PF}_3$ ,  $\text{PCl}_3$ ,  $\text{PBr}_3$ ,  $\text{PT}_3$ ,  
 $\text{AsF}_3$ ,  $\text{AsCl}_3$ ,  $\text{AsBr}_3$ ,  $\text{AsI}_3$ ,  
 $\text{SbF}_3$ ,  $\text{SbCl}_3$ ,  $\text{SbBr}_3$ ,  $\text{SbI}_3$ ,  
 $\text{BiF}_3$ ,  $\text{BiCl}_3$ ,  $\text{BiBr}_3$ ,  $\text{BiI}_3$

(и.н.) 13 1971  
XIII 2003

Письмо из Б. С., Тодорев И. И.

Опытка и синтетическая, 1971,  
31, №, 1027-1029, (русс.)

Постоянное коротковолн.  
взаимодействие  
ионов ионов 20  
ионов ионов  
группы.

ASY<sub>3</sub>

Rai S. N.

1941

Thakker S. N.

cel.  
no cm.

Indian J. Pure and  
Appl. Phys. 1941, 9, 11  
61-62



(Cu. PF<sub>3</sub>)<sup>II</sup>

$\text{PF}_3$ ;  $\text{AsF}_3$ ;  $\text{SbF}_3$ ;  $\text{BiF}_3$ ;  $\text{BF}_3$ ; XIII 233  
 $\text{PCl}_3$ ;  $\text{AsCl}_3$ ;  $\text{SbCl}_3$ ;  $\text{BiCl}_3$ ;  $\text{BCl}_3$ ; 1970  
 $\text{PB}_3$ ;  $\text{AsB}_3$ ;  $\text{SbB}_3$ ;  $\text{BiB}_3$ ;  $\text{BB}_3$ ; 1970 -  
 $\text{PI}_3$ ;  $\text{AsI}_3$ ;  $\text{SbI}_3$ ;  $\text{BiI}_3$ ;  $\text{BI}_3$  бесцв. пакетом

Министерство Б.С., Тюмень И.И.

Муз. библи. Урал. земл. запов. гг. 1970,  
15, № 12, 144-3 (рукоп.).

$\text{PF}_3$ ,  $\text{PCl}_3$ ,  $\text{PBr}_3$ ,  $\text{ASF}_3$ ,  $\text{AsCl}_3$ , 1974.  
 $\text{AsBr}_3$ ,  $\text{AsI}_3$ ,  $\text{SbCl}_3$ ,  $\text{SbBr}_3$ ,  $\text{SbI}_3$  x $\bar{\text{II}}$  2772  
(Di, M.n., meymog. qz-yuu)

Clark R.J.H., Rippon D.M.,  
J. Mol. Spectrosc., 1974, 52 (1),  
58-71.

Vapor phase Raman spectra. Raman  
band contour analyses, Coriolis const.  
force const., and values for frequ. qz-yuu  
of the trihalides of group V.

C.A. 1974. 81 N<sub>6</sub>. 313862. 10  15.

40506.8763

TE, Ch, Ph

40892 02

1974

Its T<sub>3</sub> градус.  
спецп

2083

Lee Ting Ho, Rabalaïs J. Wayne.

Model for spin-orbit interactions with  
inclusion of d electrons: applications to  
photoelectron spectroscopy.

"J. Chem. Phys.", 1974, 60, N 3, 1172-1176

(англ.)

0103 рук.

084 036

- 095

ВИНИТИ

1975

AsJ<sub>3</sub>AsJ<sub>2</sub>

спикр  
Красиль.  
рассчит.  
учесов  
(P)

) 13 Б192. Спектроскопия комбинационного рассеяния при высоких температурах. Исследование газообразной системы мышьяк—иод при температурах до 900°. Hillel R., Bouix J., Favre R. Spectroscopie Raman à haute température. Étude du système gazeux arsenic-iode jusqu'à 900° C. «Bull. Soc. chim. France», 1975, № 11—12, part. 1, 2458—2462, VI (франц., рез. англ.)

С помощью спектроскопии КР ( $\lambda=5145$  Å) исследован процесс диссоциации AsJ<sub>3</sub> и AsJ<sub>3</sub> с примесью As при т-рах 200—900°. Исследуемый образец помещали в запаянную кварцевую ампулу с плоским выходным оконком, к-рую обогревали снаружи, наблюдение вели под углом 90° к возбуждающему лазерному пучку. Одновременно измеряли давление пара в запаянном объеме. Показано, что чистый AsJ<sub>3</sub> при т-рах выше 450° разлагается с образованием AsJ<sub>2</sub> и J<sub>2</sub>. Рассчитаны константы диссоциации для различных т-р. В присутствии мышьяка AsJ<sub>3</sub> разлагается с образованием сначала As<sub>2</sub>J<sub>4</sub>, а затем AsJ<sub>2</sub>. В обоих случаях имеет также место диссоциация молекул J<sub>2</sub>.

А. Бобров

☒

+1

(P)

1976 N13

AS FB

DMN 4468

1975

AS FB

Kulkarni K.S. et al

Jadian J. Pave and  
Appl. Phys., 1975, 13, N11,  
780-2.

(paerei.  
n. chay)



Jan (FB) III

A39<sub>3</sub>

Mohan S., 1975  
Thirugnansambandam P.

"Acta Cienc. Indica";  
(cœs.  
noctis.) 1976, 2(4), 359-63.

● (cœs.  $\overline{PF}_3$ )

AS J<sub>3</sub>

\* 43-13546

1976

Murrell, J.N., et al.

(D<sub>o</sub>, J,  
'recovery')

✓ Class. See Dalton Trans.  
1978, N°, 818-22.

(cell PFs; III)

*AsBr<sub>3</sub>*

ЖУ-14845

1976

2 Д305. Фотоэлектронные спектры AsBr<sub>3</sub> и AsJ<sub>3</sub>.  
 Peel J. B., Willett G. D. The photoelectron spectra  
 of arsenic tribromide and arsenic triiodide. «J. Electron  
 Spectrosc. and Relat. Phenom.», 1976, 9, № 3, 175—183  
 (англ.)

Получены HeI-фотоэлектронные спектры AsBr<sub>3</sub> (I) и  
AsJ<sub>3</sub> (II). Вертикальные потенциалы ионизации I, II  
 равны (в эВ): I — 10,21; 10,73; 10,82; 11,05; 11,56; 11,56;  
 12,79; 13,58; 13,69; II — 9,00; 9,18; 9,30; 9,97; 10,19;  
 10,36; 11,44; 12,10; 12,35; 20,43. Фотоэлектронные  
 спектры интерпретированы при помощи неэмпирич. рас-  
 четов энергий MO и полуэмпирич. расчетов спин-орби-  
 тального расщепления. Библ. 14. Ю. В. Чижов.

(+1) 8



Ф. 1977. № 2

AsJ<sub>3</sub>

KIS - 14845

1976

AsBr<sub>3</sub>

доп. № 1  
Список

(+) □

д. 1977 № 3

3 Б93. Фотоэлектронные спектры трибромида и триiodида мышьяка. Peel J. B., Willett G. D. The photoelectron spectra of arsenic tribromide and arsenic triiodide. «J. Electron Spectrosc. and Relat. Phenom.», 1976, 9, № 3, 175—183 (англ.)

При возбуждении источником Не-I получены спектры паров AsJ<sub>3</sub> и AsBr<sub>3</sub>. Интерпретация первых полос спектров затруднена спин-орбитальным взаимодействием. Для интерпретации спектров проведены неэмпирич. расчеты электронной структуры исследованных молекул. Спин-орбитальное расщепление учтено в рамках полуэмпирич. метода. Для обеих молекул предложен след. порядок следования орбиталей  $4a_1$ ,  $4e$ ,  $1a_2$ ,  $3e$ ,  $3a_1$ ,  $2e$ . Спин-орбитальное расщепление в случае AsJ<sub>3</sub> столь велико, что анализ спектров приходится вести в рамках модели симметрии  $C_{3v}$ .

В. И. Нефедов

$AsI_3$  emulsion 5792 1974

maturing

J.

Shimanouchi T

J. Phys. Chem. and Ref. Data,  
1977, 6, 995-1102.

As I<sub>3</sub>

Lommel 7265 1978.

Bouix J., et al.

Script  
K.P.

J. Raman Spectrosc.  
1978, 4(6), 346 - 48

(cm<sup>-1</sup>. AsCl<sub>3</sub>; iii)

1978

№ 3771  
10 Д169. Фотодиссоциация молекулярных пучков  
трийодида мышьяка. Kawasaki M., Bergson R.  
Photodissociation of molecular beams of arsenic tri-iodide  
с. «J. Chem. Phys.», 1978, 68, № 5, 2105—2108 (англ.)

(20)

Проведено измерение распределения по времени про-  
лета фрагментов  $\text{AsJ}_2$ , получающихся при фотодиссоци-  
ации молекулярного пучка  $\text{AsJ}_3$  светом с длинами волн  
280 и 300 нм. Фотодиссоциация проводилась лучом  
лазера на красителях, перпендикулярным молекуляри-  
ческому пучку, а регистрация фрагментов — квадрупольным  
масс-спектрометром с ионизацией электронным ударом  
(т. е. фактически регистрировались ионы  $\text{AsJ}^+$ ). На  
основании измеренного распределения вычислены сред-  
ние кинетич. энергии фрагментов: 13,5 и 10,5 ккал/моль.  
Проведен энергетич. анализ процесса фотодиссоциации  
молекулярного пучка и сделаны следующие выводы:  
атом йода отрывается в возбужденном  ${}^2P_{1/2}$  состоянии,  
вращательная энергия фрагмента  $\text{AsJ}_2$  приблизительно  
равна его полной поступательной энергии, а колеба-  
тельное возбуждение фрагмента мало. Для энергии дис-  
социации связи  $\text{AsJ}_2-\text{J}$  получено значение  $55,9 \pm$   
 $\pm 3,0$  ккал/моль.

Е. П. Смирнов

сп-1643, № 10

*AsJ<sub>3</sub>*

18 Б79. Фотодиссоциация в молекулярных пучках триоида арсения. Kawasaki M., Bergohn R. Photodissociation of molecular beams of arsenic tri-iodide «J. Chem. Phys.», 1978, 68, № 5, 2105—2108 (англ.)

1978

На установке со скрещенными лазерным и магнитным полями исследована фотодиссоциация AsJ<sub>3</sub>. Нейтральные продукты диссоциации регистрировались с помощью квадрупольного масс-спектрометра с ионным источником электронного удара. Определены распределения по временам пролета (РВП) фрагментов AsJ<sub>2</sub> (I) из измеренных зависимостей токов ионов AsJ<sup>+</sup> в масс-спектрометре от времени между импульсом лазера с  $\lambda = 280$  нм и 300 нм и моментом регистрации ионов. Из РВП определено распределение энергии по поступательным степеням свободы I и средней поступательной энергии для двух значений  $\lambda$ ;  $E = 13,5$  ккал/моль и  $E = 10,5$  ккал/моль соотв. В предположении, что диссоциация атома J происходит по направлению связи As—J, показано, что вращательная энергия I близка к его поступательной энергии. Установлено, что средняя колебательная энергия I составляет  $3,9 \pm 1,5$  ккал/моль для обеих длин волн. Показано, что образующийся при диссоциации атом J находится в состоянии  ${}^2P_{1/2}$ . Из баланса энергий определена энергия связи AsJ<sub>2</sub>—J: D<sub>0</sub> =  $55,9 \pm 3,0$  ккал/моль.

37/171

Он

Фотодис-  
ссоциация

до

х, 1978, 11/18

Б. Николаев

AsI<sub>2</sub>-J

On 37/71

1978

88: 200996h Photodissociation of molecular beams of arsenic triiodide. Kawasaki, M.; Bersohn, R. (Dep. Chem., Columbia Univ., New York, N. Y.). *J. Chem. Phys.* 1978, 68(5), 2105-8 (Eng). A mol. beam of AsI<sub>3</sub> was photodissocd. at 280 and 300 nm and the time of flight distribution of the AsI<sub>2</sub> fragments was measured. From the broad distributions obsd., av. total fragment kinetic energies of 13.5 and 10.5 kcal/mol were calcd. If the I atom dissocs. along the As-I bond direction, the rotational energy of the AsI<sub>2</sub> fragment is nearly equal to the total translational energy. Arguments are given to show that there is little vibrational excitation of the AsI<sub>2</sub> fragment and that the I atom leaves in the <sup>2</sup>P<sub>1/2</sub> state. The bond energy D<sub>0</sub>(AsI<sub>2</sub>-I) is 55.9 ± 3.0 kcal/mol.

80

C.A. 1978, 88, N26

AsI<sub>3</sub>

osmawa 8504

1979

Scharfenberg P.

Nb. rec.  
paquet

Chem. Phys. Lett.,  
1979, 65(2), 304-309.

AS F<sub>3</sub> 1980

бумажные  
изделия и  
помехи  
искусству

Кашев Р. Т.  
Докл. АН СССР, 1980,  
254, №4, 934-8

дат. NF<sub>3</sub>-10

As Y<sub>3</sub>

(M. 20331)

1984

Grodzicki et al., Walther H.,  
Elbel Susanne.

Pomostekmp.  
cizkmp61,  
empykm,  
Y, gunougm.  
elocereHm.

Z. Naturforsch., 1984,  
B 39, N 10, 1319-1330.

(cu. NH<sub>3</sub>; III)

As 93

[om. 18842]

1984

Xin M., Chow Chiu L.,  
et al.

Pomorski, J. Electron Spectrosc.  
and Relat. Phenom.,  
1984, 33, N2, 93 - 105.

AsY<sub>3</sub>

1988

Sakai Y., Miyoshi E.

J. Chem. Phys. 1988.

ll. n.

89, N.Y. C. 4452 - 4453

(cell. SBF<sub>3</sub>; 11)

As<sub>3</sub>

[OM · 36909]

1992

концепции,  
коидиан  
тактики,  
их же ис;  
одн. МИИ,  
ab initio  
парамет

Breideng J., Thiel W.,  
J. Comput. Chem.,  
1992, 13, N2, 165-176.

Asd3

(om. 36871)

1992

Захов А. С.,

дл. физ. химии, 1992,  
м.н. 66, № 12, с. 3258-63



(ал. PF<sub>3</sub>; III)

ASJ<sub>3</sub> Singh Prem,  
Dubash A. K.

1993

i.n. Indian J. Pure and  
Appl. Phys. 1993. 31,  
N.S. C. 193 - 194.  
(c.c.  $BF_3$ ;  $\text{III}$ )

F: AsI3

P: 3

2001

134:372013 Density Functional Studies on the Lone Pair Effect of  
the Trivalent Group (V) Elements: I. Electronic Structure, Vibronic  
Coupling, and Chemical Criteria for the Occurrence of Lone Pair  
Distortions in AX<sub>3</sub> Molecules (A=N to Bi; X=H, and F to I).

Atanasov, M.; Reinen, D. Fachbereich Chemie, Philipps-Universitaet  
und Zentrum fuer Materialwissenschaften, Marburg, Germany. J.  
Phys. Chem. A (2001), 105(22), 5450-5467. in English.

The energetic, steric, and bonding properties of mols. AX<sub>3</sub> (A = N to Bi; X = H, F to I) are analyzed using d. functional theory. It is found that the "lone pair" in the initial D<sub>3h</sub> geometry is of central atom p<sub>z</sub> character for the NX<sub>3</sub> and AH<sub>3</sub> mols., whereas it possesses s symmetry in all other cases - here generally with a strong delocalization toward the ligands. The stabilization of the distorted C<sub>3v</sub> geometry is due mainly

to covalency effects, whereas steric interaction forces according to the Gillespie-Nyholm model do not seem to play a significant role. The application of the conventional vibronic pseudo Jahn-Teller coupling approach (PJT), here for the D<sub>3h</sub>→C<sub>3v</sub> transition [A<sub>1'</sub>⊗(α<sub>2''</sub> + α<sub>1''</sub>)⊗A<sub>2''</sub> interaction], is an appropriate means for inorg. chemists to predict trends for the extent of distortion and for the corresponding energy gain. The vibronic coupling consts. and the vibronic stabilization energies, which mainly det. the total D<sub>3h</sub>→C<sub>3v</sub> energy gain, vary according to the sequences F > H > Cl > Br > I (A: N to Bi), and N > P > As > Sb > Bi (X: H,F), the dependence on A being only small or not present (X:Cl to I). Thus, the hardest mols. are the most susceptible to vibronic coupling, the latter energy being approx. imaged by the hardness difference  $\eta(C_{3v}) - \eta(D_{3h})$ . A roughly inverse trend is obsd. if the extent of the angular distortion  $\tau\alpha$  from D<sub>3h</sub> to C<sub>3v</sub> symmetry is considered; here, the softest mols. such as Sb(Bi)Br<sub>3</sub> exhibit the largest and NH<sub>3</sub> the smallest deviations from D<sub>3h</sub> geometry. The different sequences for  $\tau\alpha$  are due to the strong influence of the force const., which represents the C<sub>3v</sub>→D<sub>3h</sub> restoring energy. It is remarkable that the vibronic coupling energy is strongly correlated with the chem. hardness  $\eta$  (an observable quantity), while the stabilization energy for the D<sub>3h</sub>→C<sub>3v</sub> transition is not directly reflected by  $\eta$ , in contrast to what is generally called the "principle of max. hardness".

As<sub>2</sub>

OM. 41471

2602

Virko S. et al.,

ab initio  
pacem

J. Mol. Struct. (Theocem)  
200 2 582 137-142